

組み合わせ荷重を受けるハイブリッド桁の耐荷力に関する解析的研究（1軸対称桁）

立命館大学大学院

学生員 ○大野 雄史

立命館大学理工学部

正会員 野阪 克義

立命館大学名誉教授

伊藤 満

1. はじめに

現在、我が国では橋梁構造物の設計法も許容応力度設計法から性能照査型設計法への移行が検討されている。そのような中、許容応力度設計法では適用が難しかったハイブリッド桁が再び注目され、その実現に向けて研究が行われている。また、合理化という観点から少数主桁橋へのハイブリッド桁の適用も期待される。しかしながら、我が国独自の設計照査式の開発は未だその検討段階であり、より多くのデータが必要である。本研究では、1軸対称I型断面桁のせん断、曲げ耐荷力、および相互作用について解析的に検討を行い、また既発表の土木学会関西支部での2軸対称I型断面桁との比較も行った。

2. 解析概要

2.1 解析モデル

載荷形式は単純ばかり中央一点載荷とし、表-1の各パラメーターを組み合わせて解析モデルの断面寸法を決定した。解析モデル概略図を図-1に示す。解析モ

ルは、桁高3000mmで一定とし、 $D_{cp}/D=0.75$ の1軸対称桁とし、ウェブと圧縮フランジの断面積比 $2A_f/A_w=1$ 、アスペクト比 $\alpha=d_0/D=1.0, 2.0, 3.0$ 、圧縮、引張フランジの幅厚比 $b_f/2t_f=6.0$ 、ウェブ幅厚比 $2D_c/t_w=150$ (AASHTOに規定されている、水平補剛材なしの最大幅厚比)、180(少数主桁橋の少補剛設計法で最大と考えられている幅厚比)となるように設計した。ここで D_{cp} 、 D_c はそれぞれ全断面塑性時、弾性時のウェブの圧縮領域の高さを示す。フランジにはSM570材($\sigma_y=430N/mm^2$)、ウェブにはSM490Y材($\sigma_y=355N/mm^2$)またはSM400材($\sigma_y=235N/mm^2$)を用いたハイブリッド桁である。 σ_y は降伏応力を示す。

中間垂直補剛材の幅は上フランジ幅と同一として、AASHTOまたは道路橋示方書で規定されている最低厚さを用いた。解析モデルの半スパン L については、図-2に示す5つの載荷経路を概ねたどるように決定し、5つの載荷経路のモデルを1グループとした。図中、縦軸はモーメント、横軸はせん断力を、それぞれLRFDで規定されている公称曲げ強度 M_n 、公称せん断強度 V_n で無次元化したものである。ただし、アスペクト比が2.0、3.0の供試体において、せん断よりのモデルが存在しないグループや、中間垂直補剛材が無く、テストパネルの長さがそのまま半スパン L となっているモデルもあり、合計102体の解析モデルについて検討した。

キーワード ハイブリッド桁、LRFD、耐荷力、相互作用

連絡先 〒525-8577 滋賀県草津市野路東1-1-1 TEL077-561-3007 FAX077-561-3418

表-1 供試体パラメータ

ウェブ高 D mm	$2D_c$ t_w	b_f $2t_f$	F_{yf} (N/mm ²)	F_{yw} (N/mm ²)	d_0 D	中間垂直 補剛材厚	スパン
3000	150	6	430	355	1	道路橋示方書	載荷経路 ごとに変化
	180				2		
				235	3	AASHTO	

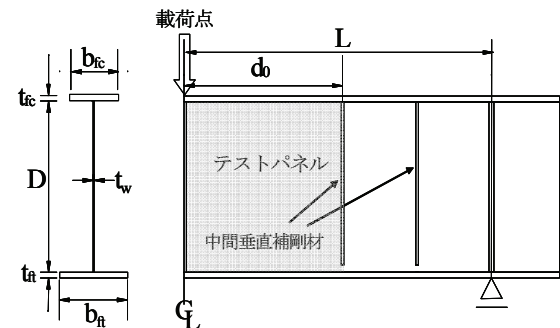


図-1 解析モデル概略図

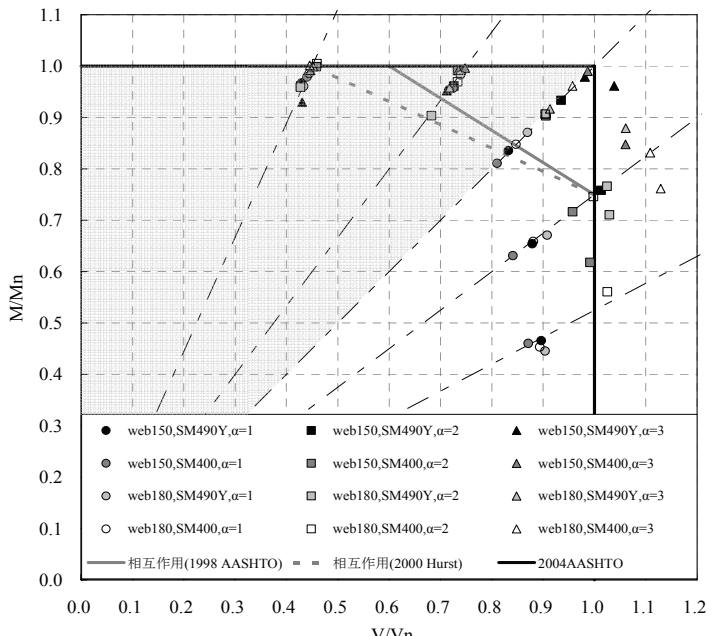


図-2 曲げ-せん断相関図

2.2 解析方法

解析には汎用有限要素解析ソフトウェア MARC を用い、4 節点シェル要素(type75)を用いた。

解析モデルの要素分割数は、ウェブ高さ方向に 30 分割、フランジ幅方向に 6 分割(圧縮フランジ), 8 分割(引張フランジ), 垂直補剛材幅方向に 3 分割し、橋軸方向分割は要素の一辺が 100mm となるように分割した。

荷重として、解析モデル中央の橋軸直角方向すべての上フランジ節点に対して鉛直方向の強制変位を与えた。回転支点と移動支点には、橋軸直角方向すべての下フランジ節点に対して、それぞれ橋軸+鉛直方向と鉛直方向を拘束した。横補剛は各グループで公称曲げ強度 M_u が一定となるような箇所に面外方向の拘束を与えた。

材料特性に関しては弾性一完全塑性を仮定、ヤング係数は 200,000N/mm², ポアソン比は 0.3 とした。さらに、初期変形として、ウェブ初期面外たわみの最大値が、道路橋示方書の制限値 D/250 となるよう正弦波形を載荷点両脇のテストパネルに与え、全てのモデルに対して同じ初期変形を与えた。残留応力は、過去の残留応力試験で得られた結果を用いた。

3. 解析結果および考察

中間垂直補剛材の違いによる耐荷力への影響を検討するため、それぞれのグループでの平均値を表-2 に示す。添え字の u は解析結果を示す。ここで、図-2 の色のついた範囲の供試体は公称曲げ強度で無次元化した。曲げとせん断を共に大きく受ける載荷経路に関してはどちらで無次元化してもよいのだが、ここでは公称曲げ強度を用いた(表-3 に関しても同様)。

中間垂直補剛材の違いにより、耐荷力には差がないことが分かった。よって、中間垂直補剛材が存在する供試体では AASHTO のデータを用い合計 56 体のデータについて検討する。

図-2 には 56 体全ての解析結果を示している。黒色線は曲げとせん断の相関がないものとした現行の LRFD による相関曲線であり、灰色線、灰色点線はそれぞれ、曲げとせん断の相関があるとした 1998 年度の AASHTO, 2000 年度に Hurst によって提案された相関曲線である。図中、それぞれ○、□、△はアスペクト比 1.0, 2.0, 3.0 の供試体を表し、さらにウェブ幅厚比、ウェブ鋼材で分類している。

ほとんどの供試体が現行の LRFD 予測値の内側に入る、つまり解析値が予測値を下回っていることがわかる。一方、1998AASHTO, 2000Hurst の予測値をほとんどのモデルが上回り、これらは安全側の評価となっていることが分かる。相互作用に関しては、図-2 で各グループの変化に注目してみても、とりわけ確認できないことが分かる。

表-3 に各パラメーターと耐荷力の関係を示す。表-3 は、解析モデル 56 体を各パラメーターで分類し、その分類された中のモデルの平均値を求めたものである。曲げ耐荷力に関しては各パラメーターでそれほどの差が確認できないが、せん断耐荷力に関してはウェブ幅厚比、アスペクト比の違いによる理論値と解析値の違いが表れた。これは図-2 においてもウェブ幅厚比、アスペクト比の異なるものを比較すると確認できる。現行の LRFD では、公称せん断強度に関してウェブ幅厚比、アスペクト比の変化をうまく捉えられていないと考えられる。

表-4 は既発表の 2 軸対称桁 53 体のデータで、供試体は 2 軸対称である以外は、本論文と同じ方法で決定し、表-3 と同じく中間垂直補剛材厚が AASHTO で規定されているデータについてまとめたものである。表-3, 4 より、1 軸対称、2 軸対称に関わらず、せん断耐荷力に関してはアスペクト比の変化をうまく捉えられていないと考えられる。

4. おわりに

解析結果より、今回の検討対象の範囲内では中間垂直補剛材の違いによる耐荷力への影響はほとんどないことが分かった。さらに、曲げとせん断の相互作用は確認できず、AASHTO LRFD の公称曲げ強度は危険側の予測値が多いことが分かった。公称せん断強度は、供試体のアスペクト比の違いにより解析値との差が大きくなつた。

本研究は、土木学会鋼構造委員会「合成桁の限界状態設計法に関する調査検討小委員会」の活動の一環として行った。

表-2 中間垂直補剛材の違いによる比較

	M_u/M_n	V_u/V_n
道路橋示方書	0.951	0.936
AASHTO	0.950	0.936

表-3 各パラメーターと耐荷力の関係

	D/t_w		α			F_yw/F_yf	
	150	180	1.0	2.0	3.0	0.83	0.55
M_u/M_n	0.95	0.95	0.93	0.95	0.97	0.94	0.96
V_u/V_n	0.95	1.02	0.88	1.01	1.08	0.97	0.98

表-4 各パラメーターと耐荷力の関係(2 軸対称)

	D/t_w		α			F_yw/F_yf	
	150	180	1.0	2.0	3.0	0.83	0.55
M_u/M_n	0.95	0.94	0.93	0.94	0.95	0.92	0.96
V_u/V_n	0.95	0.96	0.89	1.01	1.05	0.93	0.98